

長崎大学工学部 正員 岡林 隆敏
学生員 中井 一彦

1.はじめに 不規則路面凹凸上を走行する車両によって加振されるランガーブリッジの不規則応答解析に関して、最近幾つかの解法が提案されている。しかし、これらの解法では、橋梁と車両の連成が無視されていており、この条件は考慮されているが、橋梁のモード間の連成及び相関が考慮されていない様に、また幾つかの点で解析手法に不備な点が見られる。そこで、本研究では、橋梁と車両の連成はもとより、橋梁のモード間の連成及び相関を考慮した解法を示す。この解法は、既に発表した手法を、多自由度連成系に拡張したものである。即ち、不規則路面凹凸を路面系と称するフィルター系の応答と考える事により、橋梁-車両-路面系を一括して連成系とみなして、伊藤型の確率微分方程式で表現する。これより誘導される共分散方程式を、直接数値解析することにより、確定論の応答解析と同様に、分散の応答を得るものである。

この解法の妥当性は、実橋の2例に対する本解法の数値解析と、対応するシミュレーションにより検証した。これらの数値計算において、橋梁のモード間の連成及び相関を考慮しない場合と、無視した場合の各々に対応する方程式を構成し、それらの関係についても検討を加える。

2.運動方程式と不規則路面凹凸のモデル化 図1に示す、1自由度系でモデル化された車両が、一定速度Vで走行する際の橋梁と車両の運動方程式について述べる。橋梁のX点の変位を $y(x,t)$ 、車両の変位を $y(t)$ 、更に不規則路面凹凸を $x(t)$ とするとき、車両の運動方程式は次式で与えられる。 $W\ddot{y} + C(\dot{y} - \dot{y}(x,t) - \dot{x}) + k(y - y(x,t) - x) = 0 \quad (1)$ ここで、 K 、 W ：車両質量、 C ：減衰係数、 k ：ばね定数。また、橋梁に作用する車両の全接地力 $P(t)$ は次式となる。

$P(t) = W(y - \dot{x}) \quad (2)$ 一方、橋梁のn次の基準固有振動数を $\phi_n(t)$ 、基準座標を $\varphi_n(t)$ とすると、橋梁の揺み及び速度は次式で得られる。

$\ddot{y}_n(t) + 2\tilde{h}_n\omega_n\dot{y}_n(t) + \omega_n^2\varphi_n(t) = \phi_n(t)P(t)/M_n^* \quad (3)$ とすると、 $\ddot{y}_n(t) + 2\tilde{h}_n\omega_n\dot{y}_n(t) + \omega_n^2\varphi_n(t) = \phi_n(t)P(t)/M_n^*$ となる。ただし、 \tilde{h}_n 、 ω_n は各々n次の減衰定数及び固有振動数。 M_n^* は $M_n^* = S_0\phi_n(t)^2$ で定義される換算質量である。(3)式において、n次振動まで考慮すると、次の様にベクトル表示される。 $\bar{\psi}(t) = \{\varphi_1(t), \dots, \varphi_n(t)\}^T$ 、

$\dot{\psi}(t) = \{\dot{\varphi}_1(t), \dots, \dot{\varphi}_n(t)\}^T \quad (4)$ 故に、 $y(x,t) = \bar{\psi}(t)\varphi(t)$ 、

$\dot{y}(x,t) = \bar{\psi}(t)\dot{\varphi}(t) \quad (5)$ ここで、 $\varphi(t)$ は確率過程と考えていて

ので、応答は確率過程となり、 $y(x,t)$ 、 $\dot{y}(x,t)$ の平均値 \bar{y} 、 $\dot{\bar{y}}$ と平均値回り

$\bar{\psi} = \bar{\psi} - \bar{y}$ 、 $\dot{\bar{\psi}} = \dot{\bar{\psi}} - \dot{\bar{y}}$ の分散・共分散は次式となる。

$$[E[\bar{\psi}\bar{\psi}]] E[\bar{\psi}\bar{\psi}]^T = [\bar{\psi}(t)^T E[\bar{\psi}(t)\bar{\psi}(t)]] \bar{\psi}(t) \quad [E[\bar{\psi}\bar{\psi}]\cdot E[\bar{\psi}\bar{\psi}]] = [\bar{\psi}(t)^T E[\bar{\psi}(t)\bar{\psi}(t)] \bar{\psi}(t) \quad \bar{\psi}(t) E[\bar{\psi}(t)\bar{\psi}(t)] \bar{\psi}(t)]$$

$$[\bar{\psi}, \bar{\psi}]^T = [\bar{\psi}(t)^T E[\bar{\psi}(t)], \bar{\psi}(t)^T E[\bar{\psi}(t)]]^T \quad [E[\bar{\psi}\bar{\psi}]\cdot E[\bar{\psi}\bar{\psi}]] = [\bar{\psi}(t)^T E[\bar{\psi}(t)\bar{\psi}(t)] \bar{\psi}(t) \quad \bar{\psi}(t) E[\bar{\psi}(t)\bar{\psi}(t)] \bar{\psi}(t)]$$

(7) 次に不規則路面凹凸について述べる。基本的な仮定については、文献(3)において検討した。図2は実測による路面凹凸パワースペクトル密度と、表1に記した共分散方程式並びにシミュレーションで用いたパワースペクトル密度を図示したものである。共分散方程式では、路面凹凸を次の様なパワースペクトル密度でモデル化した。 $S_R(\omega) = S_0/(\omega^2 + \beta^2)$ 、 $S_0 = VA/(2\pi)^2$ 、 $\beta = 2\pi\alpha$ (8) これは、路面系と称する平均値 O 、パワースペクトル S_0 を有する正規性白色雑音過程を入力とする1階の確率微分方程式の定常解過程である。

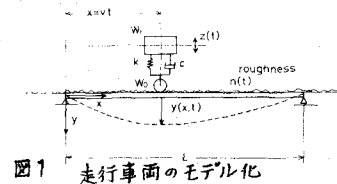


図1 走行車両のモデル化

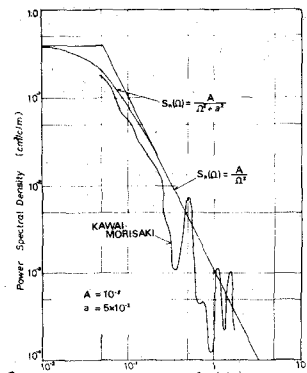


図2 路面の凹凸パワースペクトル密度

$$\alpha(t) + \beta u(t) = w(t) \quad (9) \quad w(t): \text{白色雑音過程。}$$

3. 二乗平均応答解析の基礎式 橋梁一車両一路面系の運動方程式(1)
(4)(9)式においては、車両系と橋梁系の連成、更に各モード間の連成を考慮
しなければならない。そこで、モード間の連成をも考慮して運動方程式を
状態空間でベクトル表示する為に、次式の状態変数を定義する。

$\dot{x}(t) = \begin{bmatrix} \dot{x}_1(t) \\ \dot{x}_2(t) \\ \vdots \\ \dot{x}_n(t) \end{bmatrix} \quad (10) \quad$ ただし、 $\dot{x}(t)$ は車両一路面系の状
態変数で、次式で示される。 $\ddot{x}(t) = \begin{bmatrix} \ddot{x}_1(t) \\ \ddot{x}_2(t) \\ \vdots \\ \ddot{x}_n(t) \end{bmatrix} \quad (11) \quad$ すると、
(1)(4)(9)式は一括して、確率微分方程式で表わされる。

$\dot{x}(t) = A(t)\dot{x}(t) + W(t) \quad (12) \quad$ ここで、 $W(t)$ は、次の確率特性を
有する、正規性白色雑音過程ベクトルである。

$$E[W(t)] = \bar{W}(t) \quad E[\bar{W}(t)\bar{W}(t)^T] = S(t)g(t-t_0) \quad (13) \quad \dot{x}(t)$$

の共分散行列を $\bar{R}(t)$ で表わすと、これは、次の共分散方程式を満足する。

$$\dot{\bar{R}}(t) = A(t)\bar{R}(t) + R_k(t)A(t)^T + S(t) \quad (14)$$

$$\text{初期条件 } \bar{R}(t_0) = R_{x_0} \quad (14)$$

$R_k(t)$ の中で実際の応答に関係する変数は、 $x_1(t)$ 、 $x_2(t)$ の分散
・共分散であるので、これを改めて、次式で定義する。

$$Q(t) = \begin{bmatrix} E[x_1(t)x_1(t)^T] & E[x_1(t)x_2(t)^T] \\ E[x_2(t)x_1(t)^T] & E[x_2(t)x_2(t)^T] \end{bmatrix} \quad (15)$$

(7)(14)(15)式より、モード間の連成及び相関を考慮して解析が可能
となる。尚、モード間の相関を無視すると、 $E[x_1(t)x_2(t)^T]$ 、
 $E[x_2(t)x_1(t)^T]$ は対角行列になり、従って、各モードにおける応
答の重ね合わせとして、応答が得られる。

4. シミュレーションと数値計算 共分散方程式による解析
の妥当性をシミュレーションにより検討していく。数値計算は、諸元
表-1に示してA橋とB橋を対象にしが、これらの橋梁の振
動特性は文献(4)を引用している。一方、走行車両の諸
元は表-1に示して。シミュレーションによる結果は50本の応答
曲線を平均したものである。図3、図4は、B橋のR.M.S.速度
と変位応答を示したものであるが、シミュレーションでは、モー
ド間の連成・相関を考慮した場合と無視した場合を示している。
共分散方程式の結果は、これらを無視した場合である。シミ
レーショの連成・相関を考慮と無視した場合は、後者がわず
かに小さな値を示している。共分散方程式と対応するシミ
レーショでは、前者が少し小さい。図5、図6はA橋の場合であ
るが、シミュレーションと共分散方程式は、ほぼ一致する。

[参考文献] (1)小堀・梶川：土木学会論文報告集No.248,
1976.4 (2)肥後野・吉村・彦坂：西部支部概要集昭和57年版
(3)岡林：第32回全国大会概要集 (4)吉村・平井：土木学会論
文集No.101, 1964

	A 橋	B 橋
支間長 L (m)	199 200	57 200
ラジス半径 r (m)	19 200	9 200
総重量 W (ton)	433 327	182 358
橋脚数	16	10
固有振動数 (Hz)		
外輪子次 (m+1)	1.173	2.809
内輪子次 (m+3)	1.635	4.660
中間子次 (m+2)	6.582 × 10 ⁻³	1.999
逆輪子次 (m+4)	2.632	7.999

表-1 路面凹凸特性と走行車両諸元	
路面凹凸パラメータ	S(t) (cm/sec)
共分散の構成	$S(t) = 0.01/(t^2 + a^2)$ $a = 0.05$
シミレ・シム	$S(t) = 0.04/(t^2 + a^2)$ $a = 0.05$
走行速度	V = 10 (m/sec)
車両総重量	20 (ton)
車両剛性係数	$f_x = 2.5 (Hz)$
車両減衰比	$\zeta_x = 0.05$

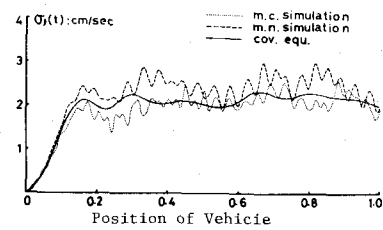


図3 B橋 R.M.S. 速度応答

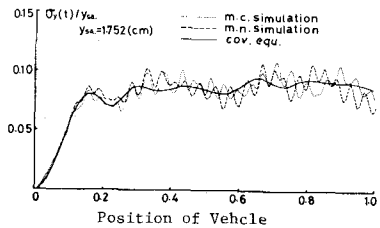


図4 B橋 R.M.S. 变位応答

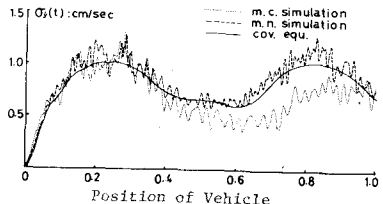


図5 A橋 R.M.S. 速度応答

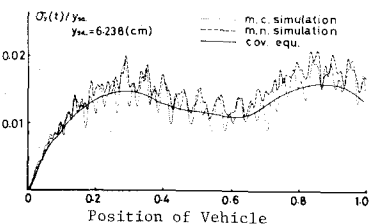


図6 A橋 R.M.S. 变位応答